

京都大学工学部

正員

後藤尚男

京都大学防災研究所

正員

土岐憲三

京都大学工学部

正員

○秋吉 韶

1. まえがき 構造物基礎の耐震設計において、地中に埋設される積円形断面を持つ場合の詳細な理論的取扱いはすでに田治見義復によって発表されている¹⁾。しかるにこの解析においては基礎体の断面の差異が応答に及ぼす影響を知ることとすべきだ。そこでわれわれは積円形断面を持つ基礎体が積円の短軸または長軸方向と直角の方向から定常的な外乱を受けるときの応答解析についてすでに発表した²⁾。これとさらに広範囲の地震応答の検討を可能とするため、今回は積円形断面を持つ基礎体が任意の方向から周期的外力を受けるときの応答解析およびその数値計算例の一部を報告する。

2. 運動方程式とその解 対象とする表層および基盤は等方均質な弾性体とし、上下方向の変位は水平方向の変位に比べて小さいとしてこれを無視する。また剛基礎体は回転の中心がその下端底面の中心にあること、外乱の方向と直角の方向とする。いま基盤より $u_0 = u_0 e^{i\omega t}$ という外力が積円の長軸(x 軸)と θ_0 の角度で入射するときの表層の運動方程式は次のように書ける。

$$(\lambda+3\mu)\frac{\partial^2 \Delta}{\partial z^2} - 2\mu\frac{\partial^2 \tilde{\omega}_z}{\partial z^2} + 3\mu\frac{\partial^2 (\ell \tilde{\omega}_z)}{\partial z^2} = f \frac{\partial^2 u_z}{\partial z^2} - f u_0 \omega^2 e^{i\omega t} \cos(\theta - \theta_0) \quad \cdots (1)$$

$$(\lambda+3\mu)\frac{\partial^2 \Delta}{\partial z^2} - 2\mu\frac{\partial^2 (\ell \tilde{\omega}_x)}{\partial z^2} + 2\mu\frac{\partial^2 \tilde{\omega}_x}{\partial z^2} = f \frac{\partial^2 u_x}{\partial z^2} + f u_0 \omega^2 e^{i\omega t} \sin(\theta - \theta_0) \quad \cdots (2)$$

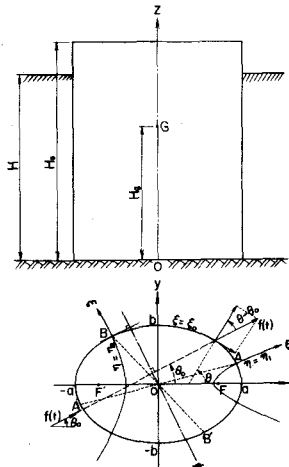


図1 モデルと外乱の方向

ここで、 Δ : dilatation, $\tilde{\omega}_x, \tilde{\omega}_y, \tilde{\omega}_z$: rotations, $\ell = k \sqrt{\cosh^2 \xi - \cos^2 \eta}$, $k = \sqrt{a^2 - b^2}$, λ, μ : Lamé の定数, ρ : 表層の密度, u_0 : 基盤の最大振幅, a, b : 積円形断面の長径と短径, u_x, u_y : ξ, η 方向の変位。

ところで $\sin \theta = k \cosh \xi \sin \eta / \ell$, $\cos \theta = k \sinh \xi \cos \eta / \ell$ を用いて、 $z = H$ (地表面) で $T_{xz} = T_{yz} = 0$ を満足する式(1), (2)の解として次のものを使う。

$$u_x = \frac{1}{\ell} \sum_{m=1,3,\dots}^{\infty} \left[C_m N_{2m+1}^{(2)}(\xi, \eta) s e_{2m+1}(\eta - \eta_2, \theta_0) + C'_m M_{2m+1}^{(2)}(\xi, \eta) c e_{2m+1}(\eta - \eta_2, \theta_0) - D_m M_{2m+1}^{(2)}(\xi, \theta_0) c e_{2m+1}(\eta - \eta_2, \theta_0) - D'_m N_{2m+1}^{(2)}(\xi, \theta_0) s e_{2m+1}(\eta - \eta_1, \theta_0) - \frac{4 u_0 k}{m \pi \xi_m^2} \left(\frac{\omega}{\omega_g} \right)^2 (\sinh \xi \cos \eta \cos \theta_0 + \cosh \xi \sin \eta \sin \theta_0) \right] \sin \frac{m \pi z}{2H} e^{i\omega t} \quad \cdots (3)$$

$$u_y = \frac{1}{\ell} \sum_{m=1,3,\dots}^{\infty} \left[C_m N_{2m+1}^{(2)}(\xi, \theta_0) s e_{2m+1}(\eta - \eta_1, \theta_0) + C'_m M_{2m+1}^{(2)}(\xi, \theta_0) c e_{2m+1}(\eta - \eta_1, \theta_0) + D_m M_{2m+1}^{(2)}(\xi, \theta_0) c e_{2m+1}(\eta - \eta_2, \theta_0) + D'_m N_{2m+1}^{(2)}(\xi, \theta_0) s e_{2m+1}(\eta - \eta_1, \theta_0) + \frac{4 u_0 k}{m \pi \xi_m^2} \left(\frac{\omega}{\omega_g} \right)^2 (\cosh \xi \sin \eta \cos \theta_0 - \sinh \xi \cos \eta \sin \theta_0) \right] \sin \frac{m \pi z}{2H} e^{i\omega t} \quad \cdots (4)$$

ここで、 $M_{2m+1}^{(2)}(\xi, \theta)$, $N_{2m+1}^{(2)}(\xi, \theta)$ などは modified Mathieu functions, $c e_{2m+1}(\eta, \theta)$, $s e_{2m+1}(\eta, \theta)$ などは Mathieu functions であり³⁾、ドットを付したもののはその関数の微分形である。 C_m, C'_m, D_m および D'_m (積分定数) である。さうに $\omega_g = 2k \cdot \pi / 2H$, $\xi_m^2 = (\omega/\omega_g)^2 - m^2$, $\eta_1 = (k \omega_g / 2v_2)^2 \xi_m^2$, $\eta_2 = (k \omega_g / 2v_2)^2 \xi_m^2$, $v_x^2 = \mu / \rho$, $v_y^2 = (\lambda + 3\mu) / \rho$, $\eta_1 = \tan^{-1}(\tanh \xi_0 \tan \theta_0)$, $\eta_2 = -\tan^{-1}(\tanh \xi_0 \cot \theta_0)$ 。このとき積円柱の表層より受けた軸反力モーメント M は

$$M = -\sum_{m=1,3,5,\dots}^{\infty} \rho \pi ab \left(\frac{2H}{m\pi}\right)^2 (-1)^{\frac{m-1}{2}} \frac{1}{m^2} \omega_0^2 \left\{ \frac{8\varphi_0 H}{\pi^2 m^2} \left(\frac{-1}{2}\right)^{\frac{m-1}{2}} + \frac{4u_0}{m\pi^2} \left(\frac{\omega}{\omega_0}\right)^2 \right\} P_m e^{i\omega t} \quad \cdots \cdots (5)$$

ただし、 $P_m = \Omega_m \sin^2 \theta_0 + L_m \cos^2 \theta_0$, φ_0 : ロッキング回転角。このとき剛基礎体に関する運動方程式はロッキングのはね定数を k_R , 槟性モーメントを M とすると

$$I \ddot{\varphi} + k_R \varphi = m_0 u_0 \omega^2 H_0 e^{i\omega t} + M \quad \cdots \cdots (6)$$

いま式(6)の解を $\varphi = \varphi_0 e^{i\omega t}$ として次の置換を用いよ。

$$\begin{aligned} \sum_{m=1,3,5,\dots}^{\infty} \frac{P_m}{m^2} &= f_1 + i f_2, & \sum_{m=1,3,5,\dots}^{\infty} \frac{(-1)^{\frac{m-1}{2}}}{m^2} P_m &= g_1 + i g_2, \\ \sum_{m=1,3,5,\dots}^{\infty} \frac{L_m}{m^2} &= \end{aligned} \quad \left. \begin{aligned} \chi = -\frac{C_1^*}{4} \sqrt{\frac{a}{b}} \sum_{m=1,3,5,\dots}^{\infty} \frac{P_m}{m^2} / J(\theta_0), & \frac{\omega_0}{\omega} = 2C_2^* \sqrt{\frac{H}{a}} \sqrt{\frac{J(\theta_0)}{J(\theta_0) + 1/3}}, \\ J(\theta_0) = \frac{1}{4} \left[\left(\frac{a}{H}\right)^2 \cos^2 \theta_0 + \left(\frac{b}{H}\right)^2 \sin^2 \theta_0 \right], & \zeta_0^2 = \frac{I}{m_0} \end{aligned} \right\} \cdots \cdots (7)$$

これより剛基礎体底部応答倍率 $X(H)$ は次式で与えられる。

$$X(H) = \left| \frac{\varphi_0 H + u_0}{u_0} \right| = \left| 1 + \frac{\frac{HHg}{I_0^2} \left(\frac{\omega}{\omega_0}\right)^2 + \frac{\pi}{2} \chi (g_1 + i g_2)}{1 - \left(\frac{\omega}{\omega_0}\right)^2 + \chi (f_1 + i f_2)} \left(\frac{\omega}{\omega_0}\right)^2 \right| \quad \cdots \cdots (8)$$

$$\begin{aligned} \text{ただし}, \quad \Omega_m &= \frac{\frac{b}{a} (B_1^{(0)})^2 M_{e1}^{(0)} (\xi_1, \xi_2) + \frac{a}{b} (A_1^{(0)})^2 N_{e1}^{(0)} (\xi_1, \xi_2)}{M_{e1}^{(0)} (\xi_1, \xi_2) N_{e1}^{(0)} (\xi_1, \xi_2)} - 2 A_1^{(0)} B_1^{(0)} \sum_{r=0}^{\infty} (2r+1) A_{2r+1}^{(0)} B_{2r+1}^{(0)} \\ &\quad - \frac{M_{e1}^{(0)} (\xi_1, \xi_2) N_{e1}^{(0)} (\xi_1, \xi_2)}{M_{e1}^{(0)} (\xi_1, \xi_2) N_{e1}^{(0)} (\xi_1, \xi_2)} - \left(\sum_{r=0}^{\infty} (2r+1) A_{2r+1}^{(0)} B_{2r+1}^{(0)} \right)^2 \end{aligned} \quad \cdots \cdots (9)$$

また L_m は Ω_m における f_1 と f_2 を互に入れ換えたものである。

「すみ、 $\xi_m^2 = (\omega/\omega_0)^2 - m^2 < 0$ のときは、 $M_{e1}^{(0)} (\xi_1, \xi_2)$, $N_{e1}^{(0)} (\xi_1, \xi_2)$ のかわりに $F_{e1} (\xi_1, -\xi_2)$, $G_{e1} (\xi_1, -\xi_2)$ を用ひなければならぬ。」

3. 数値計算結果との考察 定数 $C_1^* = 0.02$, $C_2^* = 1$ および

$H_0 = H = 2H_0$ に固定して数値計算を行なつた。図2のようく外乱が長軸方向に近づくほど系の固有振動数に対する共振が顕著であり、短軸方向に近づくほどその共振現象は不明確になって、かつ表層の共振の影響を大きく受けることが分る。図3においては外乱の方向が一定のときは系の固有振動数が表層の固有振動数に近づくとそれだけ系の固有振動数に対応した共振は大きくなるが、遠ざかるとその共振は小さくなる。図4においては断面および外乱の方向が一定のときは、表層が薄くなると基盤の影響は大きくなり、その反面表層の共振による影響は小さくなる。一般に系の固有振動数は地盤中で高くこう傾向が見られるが、水中構造物のそれと著しく異っている。その他の計算結果と考察は請説時にゆずる。数値計算は京大電子計算機KDC-IIによつた。

1) 田中良宏: 深い基礎頭部構造物の地震応答について, 日本地震工学シンポジウム(1966) 請説集, BB41.10.

2) 後藤尚男・土山慶三・秋吉卓: 弹性地盤中にある構造物の振動特性, 京都大学防災研究所年報第11号A, BB43.3.

3) McLachlan, N.W.: Theory and Application of Mathieu Functions, 1964, Dover.

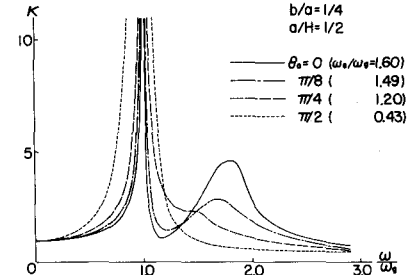


図2 周波数応答曲線

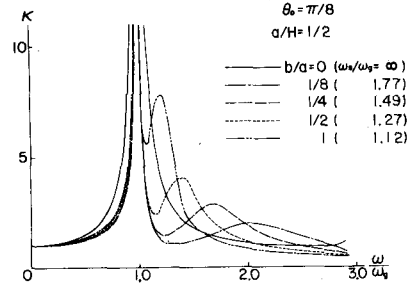


図3 周波数応答曲線

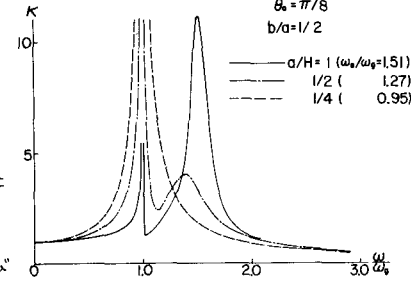


図4 周波数応答曲線